

عملي عملي. X-shanker باسخدام تحويل Dus باسخدام تحويل X-shanker باسخدام New Application of DUS Transformation on X-shanker .Distribution with Real Data Sets

أ.م. د ايناس عبد الحافظ محمد Enas A. Mohammed

College كلية الإدارة والاقتصاد جامعة كربلاء of Administration and Economics,

University of Karbala
enas.albsri@uokerbala.edu.iq

زهراء احمد هاشم عبد
Zahraa A. Hashem
کلیة الإدارة والاقتصاد جامعة کربلاء
College of Administration and Economics,
University of Karbala
Zahraa.a@s.uokerbala.edu.iq

أ.م. زينب حسن عبود Zainab H. Abood College of Administration كلية الإدارة والاقتصاد جامعة كربلاء and Economics, University of Karbala zainab.hasan@uokerbala.edu.iq

لمستخلص:

يقدم هذا البحث تطويرًا جديدًا في نمذجة التوزيعات الاحتمالية من خلال تطبيق تحويل DUS على توزيع X-Shanker، مما ينتج عنه توزيع معدل يُعرف باسم توزيع معدل يُعرف باسم توزيع X-Shanker المقتطع وفقًا لتحويل DUS. يهدف هذا التعديل إلى تحسين مرونة وكفاءة التوزيع في تمثيل البيانات الواقعية.

تم تحليل سلوك دالة الكثافة الاحتمالية ودالة التوزيع التراكمية للتوزيع الجديد، ومقارنته بالتوزيع الأصلي، مع اشتقاق خصائصه الهيكلية مثل المتوسط، التباين، الدوال اللحظية، ودالة الموثوقية. كما تم تقدير معلمات التوزيع الجديد باستخدام طريقة التقدير بأقصى احتمال (MLE) لضمان دقة التقديرات.

لتقييم أداء التوزيع المقترح، تم تطبيقه على مجموعات بيانات حقيقية، حيث أظهرت النتائج قدرة التوزيع الجديد على تقديم ملاءمة أفضل للبيانات مقارنة بالنماذج الاحتمالية التقليدية. توضح هذه الدراسة أهمية استخدام تحويل DUS في تحسين التوزيعات الاحتمالية وتوسيع نطاق استخدامها في التحليل الإحصائي والبيانات التطبيقية.

الكلمات المفتاحية: توزيع X-shanker، تقدير دالة البقاء للتوزيع، طريقة الإمكان الأعظم, أمثلة حسابية.

Abstract:

This research presents a new development in probability distribution modeling by applying the DUS transformation to the X-Shanker distribution, resulting in a modified distribution known as the truncated X-Shanker distribution under the DUS transformation. This modification aims to enhance the flexibility and efficiency of the distribution in representing real-world data.

The behavior of the probability density function and the cumulative distribution function of the new distribution has been analyzed and compared with the original distribution. Additionally, its structural properties, such as mean, variance, moment functions, and reliability function, have been derived. The parameters of the new distribution have been estimated using the maximum likelihood estimation (MLE) method to ensure accurate parameter estimation.

To evaluate the performance of the proposed distribution, it has been applied to real-world datasets, where the results showed that the new distribution provides a better fit for the data compared to traditional probability models. This study highlights the importance of using the DUS transformation in improving probability distributions and expanding their applicability in statistical analysis and applied data studies

Keywords: X-shanker Distribution, Survival Function Estimation, Maximum Possibility Method, Computational example.



1- المقدمة:

شهد تطوير التوزيعات الاحتمالية الأساسية تقدمًا كبيرًا في السنوات الأخيرة، ويعتمد هذا التطور على تقنيات وأساليب متنوعة. تركز بعض هذه الأساليب على دالة التوزيع التراكمي (CDF)، بينما تعتمد أخرى على دالة الكثافة الاحتمالية (PDF)، وهناك من يدمج بينهما لإنشاء توزيعات أكثر مرونة وتطبيقية في مختلف المجالات العلمية والعملية.

إحدى التقنيات الشهيرة هي التحويل DUS، حيث اقترح العديد من الباحثين استراتيجيات تحويل مختلفة، بما في ذلك ما قدمه Gupta وآخرون (1998)، إذ استخدموا دالة التوزيع التراكمي (CDF) لتوزيع أساسي لإنشاء نماذج جديدة عن طريق رفع دالة التوزيع التراكمي لأساس التوزيع إلى قوة معينة.

$$G(t) = [F(t)]^{lpha}$$
 . هو معلمة الشكل $lpha > 0$ هو معلمة $lpha > 0$

حيث ستكون G دالة التوزيع التراكمي المقترحة. اقترح شو وباكلي (2009) في [14] خريطة التحويل التربيعية للرتب لتعديل التوزيعات.

كما قدم محمد والكديم [10] [11] طريقة تحويل تعتمد على دالة البقاء، وذلك بهدف تطوير توزيعات عمر جديدة. $G(t) = (1+\gamma)F(t) - \gamma \{F(t)\}^2 \quad where \ 1>\gamma>-1$

$$S(t)_{new} = (1 + \rho) S^2(t) - \rho S(t)$$
 $|\rho| \le 1$

حيث إن S(t) هي دالة البقاء الأساسية لتوزيع معين.

نُعد نقنية تحويل DÜS، التي قدمها Kalsoom Akhtar و آخرون (2021) [1]، من الأساليب الحديثة، حيث تعتمد على تطبيق تعديل أسي على دالة التوزيع التراكمي (CDF) و دالة الكثافة الاحتمالية (PDF) للتوزيع الأساسي.

$$g(x) = \frac{1}{e - 1} f(t) e^{F(t)}$$
 (1)

$$G(t) = \frac{1}{e-1} \left[e^{F(t)} - 1 \right]$$
 (2)

حيث إن f(t) هي دالة الكثافة الاحتمالية (PDF) للتوزيع الأساسي، وF(t) هي دالة التوزيع التراكمي (CDF) للتوزيع الأساسي، و $e^{F(t)}$ هو تحويل أسي يتم تطبيقه على دالة التوزيع التراكمي.

t على مدى t على مدى t على مدى t هو ثابت تطبيع يضمن تكامل دالة الكثافة الاحتمالية t

تم استخدام هذه الطريقة مع توزيعات مختلفة، مثل التوزيع الأسي وتوزيع Weibull [6] الاشتقاق نماذج جديدة ومرنة مناسبة لتحليل البقاء ودراسات الموثوقية.

في هذا البحث، نقوم بتطبيق تحويل DUS على توزيع X-shanker ذو المعلمة الواحدة [4]، ثم نقوم بتقدير معلمات التوزيعات الجديدة باستخدام طريقة الاحتمال الأعظم.

كما يتم استخدام أمثلة لمجموعات بيانات حقيقية الختبار صلاحية التوزيعات الجديدة من خلال مقارنتها بالتوزيعات الأساسية.

:Research objective عدف البحث -2

تهدف هذه البحث إلى تطوير توزيع احتمالي جديد باستخدام تحويل DUS، وذلك من خلال:

- 1- تحسين مرونة التوزيع وزيادة قدرته على ملاءمة البيانات الواقعية.
 - -2- تحليل الخصائص الرياضية والإحصائية للتوزيع الجديد.
- 3- اختبار طرق تقدير المعلمات الخاصة بالتوزيع باستخدام المقاييس الإحصائية منها طريقة الإمكان الأعظم MLE.
 - 4- تقييم أداء التوزيع الجديد عبر أسلوب المحاكاة باستخدام أحجام عينات مختلفة.
 - 5- تحسين النماذج الاحتمالية المستخدمة في التطبيقات العملية عبر تطوير هذا التوزيع الجديد.



3- مشكلة البحث Research problem:

تتمثل مشكلة البحث في تطوير توزيع احتمالي جديد يعتمد على تحويل DUS، وذلك استجابةً للحاجة المتزايدة إلى نماذج احتمالية أكثر دقة ومرونة في تحليل البيانات المعقدة. حيث إن التوزيعات الاحتمالية التقليدية غالبًا ما تكون غير كافية لتمثيل بعض أنواع البيانات بشكل دقيق، مما يستدعى ابتكار توزيعات أكثر ملاءمة. بناءً على ذلك، تتحدد مشكلة البحث في:

- تطوير توزيع احتمالي جديد يعتمد على تحويل DUS.
- تقديم نموذج أكثر توافَّقًا مع البيانات المعقدة، مع إجراء تطبيق عملي للتحقق من دقته وكفاءته.

4- تحويل DUS لتوزيع X-shanker ذو المعلمة الواحدة (DUS-X-sh):

يُعرف توزيع Lindley ذو المعلمة الواحدة من خلال دالة الكثافة الأحتمالية (PDF) ودالة التوزيع التراكمي (CDF)، ويُعد من التوزيعات المهمة في تحليل البيانات المتعلقة بزمن الحياة والموثوقية. وفي هذا البحث، تم التركيز على تطبيق تحويل X-shanker على توزيع جديد يُظهر مرونة أكبر في التمثيل الإحصائي للبيانات.

بناءً على ذلك، فإن دالتي الكثافة الاحتمالية والتوزيع التراكمي للتوزيع المحوّر DUS-X-shanker تُشتقان من الصيغ الأساسية لتوزيع من حيث الشكل الأساسية لتوزيع من حيث الشكل المناسية لتوزيع من حيث الشكل والانتشار. التغيرات الملحوظة في الجداول والرسوم البيانية ليست عشوائية، وإنما نتيجة مباشرة لهذا التحويل الرياضي المنهجي.

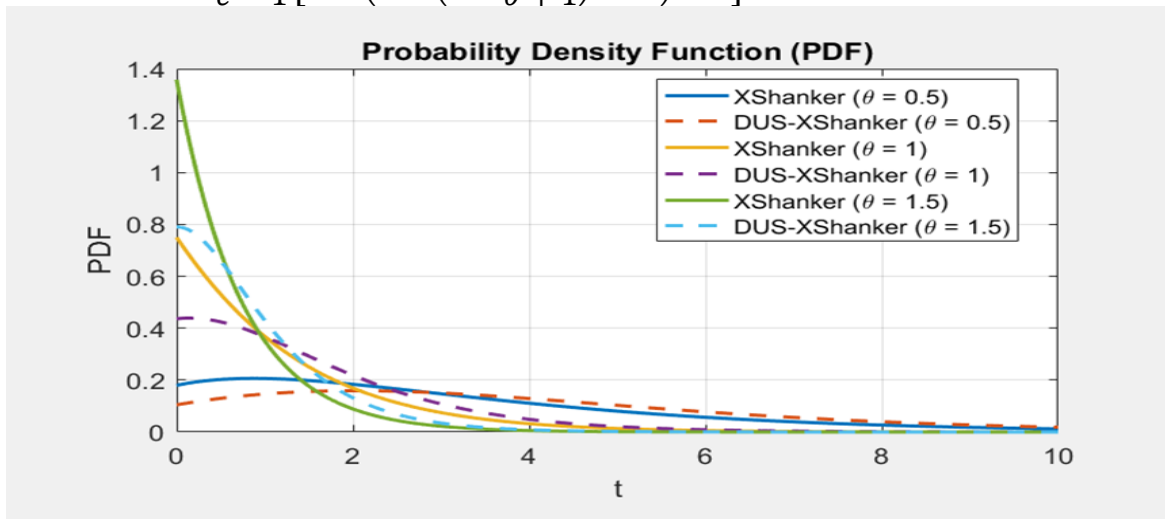
$$f(t,\theta) = \frac{\theta^2(t+1)}{\theta+1}e^{-\theta t} \quad t > 0 , \theta > 0$$
 (3)

$$F(t,\theta) = 1 - \left(1 + \frac{\theta t}{\theta + 1}\right)e^{-\theta t} \qquad t > 0 , \theta > 0$$
 (4)

لذلك، دالة الكثافة الاحتمالية (pdf) ودالة التوزيع التراكمي (cdf) لتوزيع DUS-Xsh تكون كما يلي:

$$g(t,\theta) = \frac{1}{e-1} \frac{\theta^2(t+1)}{\theta+1} \exp\left(1 - \left(1 + \frac{\theta t}{\theta+1}\right)e^{-\theta t}\right)$$
 (5)

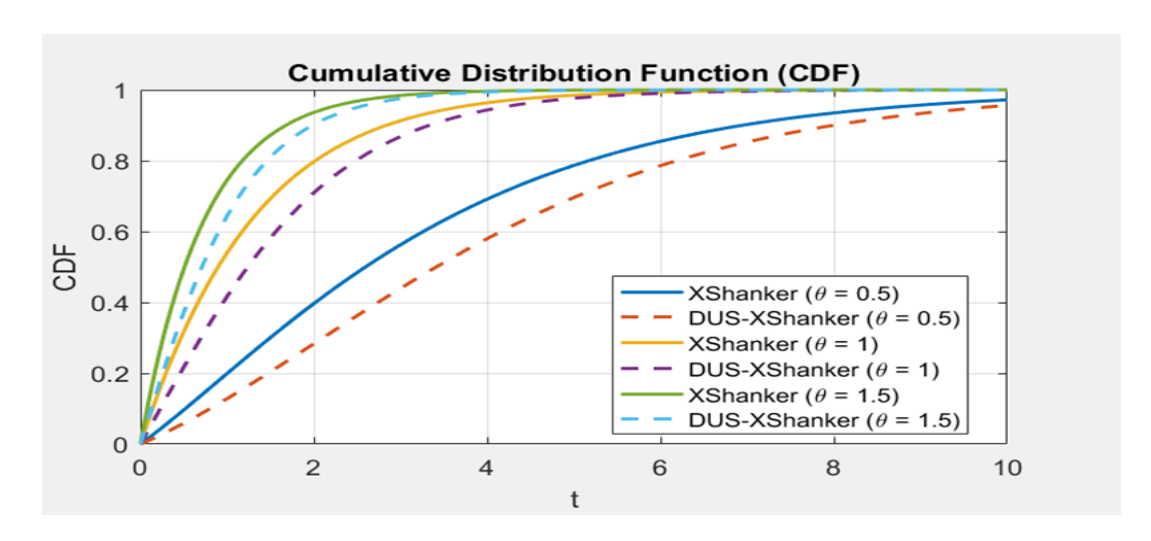
$$G(t,\theta) = \frac{1}{e-1} \left[\exp\left(1 - \left(1 + \frac{\theta t}{\theta + 1}\right) e^{-\theta t}\right) - 1 \right]$$
 (6)



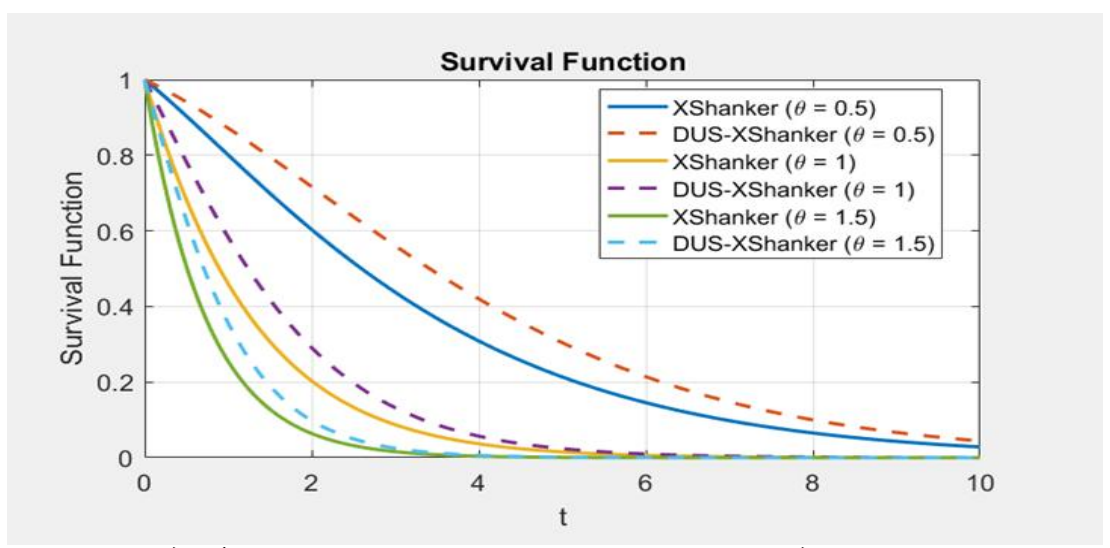
الشكل 1. منحنيات دالة الكثافة الاحتمالية الأصلية لتوزيع X-shanker عند قيم مختلفة لـ DUS-X-sh عند قيم مختلفة لـ



الشكل (1) يعطي مثالاً لدالة الكثافة الاحتمالية (pdf) لتوزيع DUS-Xsh المحول لثلاث قيم مختلفة للمعلمة θ . يمكن ملاحظة أنه عندما تزيد قيمة θ ، يتحرك قمة منحنى التوزيع، مما يوضح كيف يصبح التوزيع الجديد أكثر انتشارًا أو تركيزًا اعتمادًا على قيمة θ ، وبالتالى فإن صيغة التحويل قد أثرت على سلوك ذيل التوزيع.



الشكل 2. منحنيات دالة التوزيع التراكمي (cdf) الأصلية لتوزيع X-shanker و الشكل 2. منحنيات دالة التوزيع التراكمي θ



الأصلية عند قيم X-shanker الأصلية عند قيم الشكل 3. منحنيات دالة البقاء لتوزيع θ مختلفة لـ θ

في الشكل (3) تم رسم ثلاث منحنيات لثلاث قيم مختلفة لـ θ لاختبار تأثير صيغة التحويل على دالة البقاء. وتم إعطاء دوال البقاء والمخاطر لتوزيع DUS-LI.

$$S(t,\theta) = 1 - G(t,\theta)$$

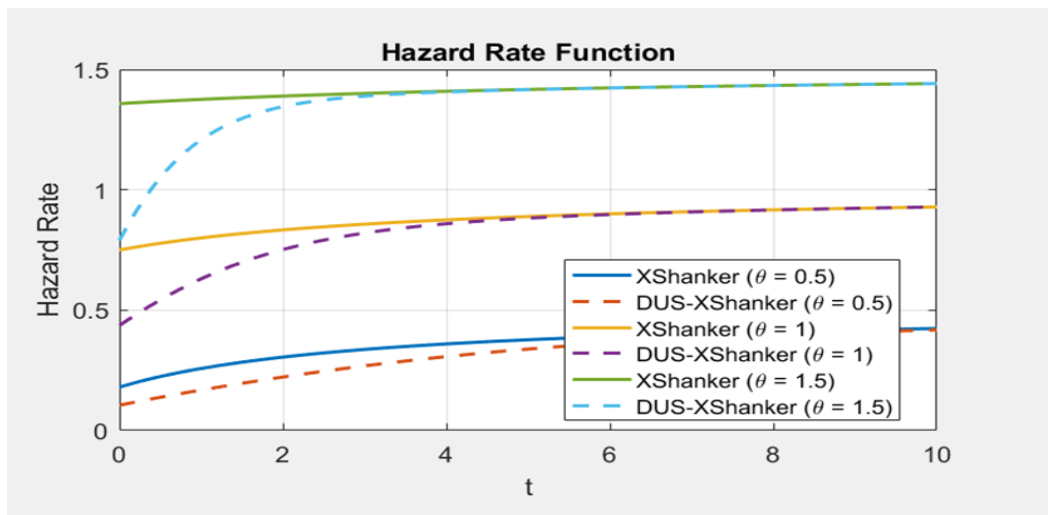
$$S(t,\theta) = 1 - \frac{1}{e-1} \left[\exp\left(1 - \left(1 + \frac{\theta t}{\theta + 1}\right)e^{-\theta t}\right) - 1 \right]$$

$$h(t,\theta) = \frac{1}{e-e^{F(t)}} f(t)e^{F(t)}$$

$$(7)$$



$$h(t,\theta) = \frac{1}{e^{-e^{1-\left(1+\frac{\theta t}{\theta+1}\right)}e^{-\theta t}}} \frac{\theta^2(t+1)}{\theta+1} e^{-\theta t} \cdot e^{1-\left(1+\frac{\theta t}{\theta+1}\right)e^{-\theta t}}$$
(8)



الشكل 4. منحنيات دالة المخاطر لتوزيع X-shanker و DUS X-shanker الأصلية عند قيم مختلفة لـ heta.

5- بعض الخصائص الإحصائية للتوزيع الجديد فيما يلي. (1-5)المتوسط (القيمة المتوقعة): Mean:

نعلم ان القيمة المتوقعة E(x) تعطي بالعلاقة التالية:

$$E(t) = \int_0^\infty t \, g(t) \, dt$$

$$g(t) = \frac{1}{e-1} \cdot \frac{\theta^2}{(\theta^2+1)^2} \left[\theta^3 + 2\theta + t \right] e^{-\theta t} \cdot e^{1 - \left[1 + \frac{\theta x}{(\theta^2+1)^2} \right] e^{-\theta x}}$$

$$E(t) = \int_0^\infty t \, \frac{1}{e-1} \cdot \frac{\theta^2}{(\theta^2+1)^2} \left[\theta^3 + 2\theta + t \right] e^{-\theta t} \cdot e^{1 - \left[1 + \frac{\theta x}{(\theta^2+1)^2} \right] e^{-\theta x}} \, dt$$

لحساب التكامل، نستخدم التوسع الدالي للدالة الأسية باستخدام المتسلسلة.

$$e^{F(t)} = e^{1 - \left(1 + \frac{\theta t}{(\theta^2 + 1)^2}\right)e^{-\theta t}}$$

$$= e \cdot e^{-\left(1 + \frac{\theta t}{(\theta^2 + 1)^2}\right)e^{-\theta t}}$$

التوسع باستخدام المتسلسلة للدالة الأسية.

$$e^{-\left(1+\frac{\theta t}{(\theta^2+1)^2}\right)e^{-\theta t}} = \sum_{m=0}^{\infty} \frac{(-1)^m}{m!} \left(1+\frac{\theta t}{(\theta^2+1)^2}\right)^m e^{-m\theta t}$$

$$E(t) = \int_0^{\infty} t \cdot \frac{\theta^2}{(\theta^2+1)^2(e-1)} (\theta^3+2\theta+t)e^{-\theta t} \cdot e \cdot \sum_{m=0}^{\infty} \frac{(-1)^m}{m!} \left(1+\frac{\theta t}{(\theta^2+1)^2}\right)^m e^{-m\theta t}$$

$$E(t) = \int_0^{\infty} t \cdot \frac{\theta^2}{(\theta^2+1)^2(e-1)} (\theta^3+2\theta+t)e^{-\theta t} \cdot e \cdot \sum_{m=0}^{\infty} \frac{(-1)^m}{m!} \left(1+\frac{\theta t}{(\theta^2+1)^2}\right)^m e^{-m\theta t}$$

$$E(t) = \int_0^{\infty} t \cdot \frac{\theta^2}{(\theta^2+1)^2(e-1)} (\theta^3+2\theta+t)e^{-\theta t} \cdot e^{-\theta t} \cdot e^{-\theta t}$$



ىبث:

$$\int_{0}^{\infty} t^{n} e^{-\lambda t} dt = \frac{\Gamma_{(n+1)}}{\lambda^{n+1}}$$

الحزء الأول من التكامل:

$$\int_{0}^{\infty} t \left(\theta^{3}+2\theta\right) \left(1+\frac{\theta t}{(\theta^{2}+1)^{2}}\right)^{m} e^{-(m+1)\theta t} dt$$

الجزء الثاني من التكامل:

$$\int_{0}^{\infty} t^2 \left(1 + \frac{\theta t}{(\theta^2 + 1)^2}\right)^m e^{-(m+1)\theta t} dt$$

بعد حساب التكامل نحصل على

$$E(t) = \frac{e\theta^2}{(\theta^2+1)^2(e-1)} \sum_{m=0}^{\infty} \frac{(-1)^m}{m!} \left[\frac{\Gamma(2)}{\left((m+1)\theta\right)^2} + \frac{\Gamma(3)}{\left((m+1)\theta\right)^3} \right]$$

(5-2) العزوم (Moments):

$$u_r' = E(t^r) = \int_{-\infty}^{\infty} t^r \cdot g(t) dt$$

بالتعويض عن $g_{(x)}$, نحصل على:

$$U'_{r} = \int_{0}^{\infty} t^{r} \cdot \frac{\theta^{2}}{(\theta^{2} + 1)^{2}(e - 1)} (\theta^{3} + 2\theta + t) e^{-\theta t} \cdot e^{1 - \left(1 + \frac{\theta t}{(\theta^{2} + 1)^{2}}\right)e^{-\theta t}} dt$$

لحساب التكامل. نشر الدالة الاسبة:

$$e^{F(t)} = e^{1 - \left(1 + \frac{\theta t}{(\theta^2 + 1)^2}\right)} e^{-\theta t} = \sum_{m=0}^{\infty} \frac{(-1)^m}{m!} \left(1 + \frac{\theta t}{(\theta^2 + 1)^2}\right)^m e^{-m\theta t}$$

$$U'_r = \frac{e\theta^2}{(\theta^2 + 1)^2(e - 1)} \sum_{m=0}^{\infty} \frac{(-1)^m}{m!} \cdot \int_0^{\infty} t^r (\theta^3 + 2\theta + t) \left(1 + \frac{\theta t}{(\theta^2 + 1)^2}\right)^m e^{-(m+1)\theta t} dt$$

بعد تبسيط التكامل. نستعمل دالة غاما:

$$\begin{split} U_r' &= \frac{e\theta^2}{(\theta^2+1)^2(e-1)} \sum_{m=0}^{\infty} \frac{(-1)^m}{m!} \cdot \int_0^{\infty} t^r (\theta^3+2\theta+t) \left(1 + \frac{\theta t}{(\theta^2+1)^2}\right)^m e^{-(m+1)\theta t} \ dt \\ &\qquad \qquad \qquad \\ \int_0^{\infty} t^n e^{-\lambda t} \ dt &\qquad \qquad = \frac{\Gamma(n+1)}{\lambda^{n+1}} \end{split}$$



الجزء الأول من تكامل العزم:

$$\int_{0}^{\infty} t^{r} \left(\theta^{3}+2\theta\right) \left(1+\frac{\theta t}{(\theta^{2}+1)^{2}}\right)^{m} e^{-(m+1)\theta t} dt$$

الجزء الثاني من تكامل العزم:

$$\int_{0}^{\infty} t^{r+1} \left(1 + \frac{\theta x}{(\theta^2 + 1)^2} \right)^m e^{-(m+1)\theta t} dt$$

بعد حساب التكامل, نحصل على:

$$U'_r = \frac{e\theta^2}{(\theta^2 + 1)^2(e - 1)} \sum_{m=0}^{\infty} \frac{-(1)^m}{m!} \left[\frac{\Gamma(r+1)}{\left((m+1)\theta\right)^{r+1}} + \frac{\Gamma(r+2)}{\left((m+1)\theta\right)^{r+2}} \right]$$

:الان يمكننا استخدام المعادلة الأخيرة لأيجاد تباين التوزيع بحيث $var\left(t
ight)=\mu_{2}^{\prime}-(\mu_{1}^{\prime})^{2}$

$$var(t) = \mu'_2 - (\mu'_1)^2$$

 u_1' هو العزم الأول (المتوسط), والذي قمت بحسابة بالفعل. th-r هو العزم الثاني, والذي يمكن حسابة باستخدام الصيغة للعزم u_2' .

$$\mu_2' = \frac{e\theta^2}{(\theta^2 + 1)^2(e - 1)} \sum_{m=0}^{\infty} \frac{-(1)^m}{m!} \left[\frac{\Gamma(3)}{\left((m+1)\theta\right)^3} + \frac{\Gamma(4)}{\left((m+1)\theta\right)^4} \right]$$

var(t) بمجر د حساب u_1' . u_2' نقوم بتعويضهما في معادلة التباين للحصول على var(t)

6- معامل الالتواء (Coefficient of Skewness):

يقيس الالتواء عدم تناظر التوزيع. يشير الذيل الأطول على اليمين إلى التواء موجب، بينما يشير الذيل الأطول على اليسار ي. إلى التواء سالب. تُستخدم العزوم الأول والثاني والثالث لحساب الالتواء.

Skewness(t) =
$$\frac{\mu_2' - 3\mu_1'\mu_2' + 2(\mu_1')^3}{var(t)^{3/2}}$$

 $var(t)^{3/2}$ حيث u_3' هو العزم الثالث، والذي يمكن حسابه باستعمال الصيغة الخاصة للعزم u_3'

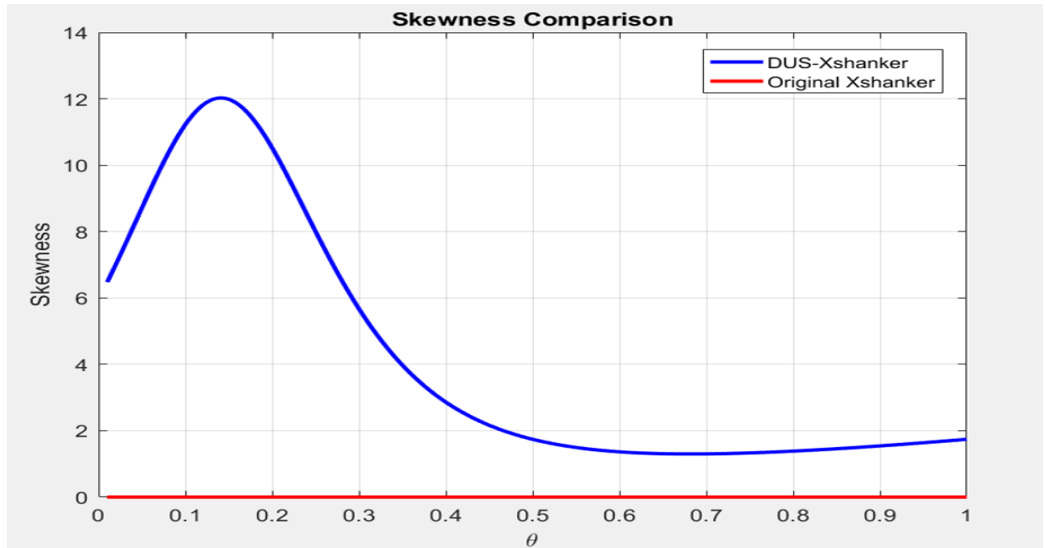
$$\mu_3' = \frac{e\theta^2}{(\theta^2 + 1)^2 (e - 1)} \sum_{m=0}^{\infty} \frac{-(1)^m}{m!} \left[\frac{\Gamma(4)}{\left((m+1)\theta \right)^4} + \frac{\Gamma(5)}{\left((m+1)\theta \right)^5} \right]$$

استبدل u_2' و u_3' في صيغة الانحراف لحساب الانحراف u_3' و u_4' و رود رود رود رود التفريخ (Coefficient of Kurtosis):

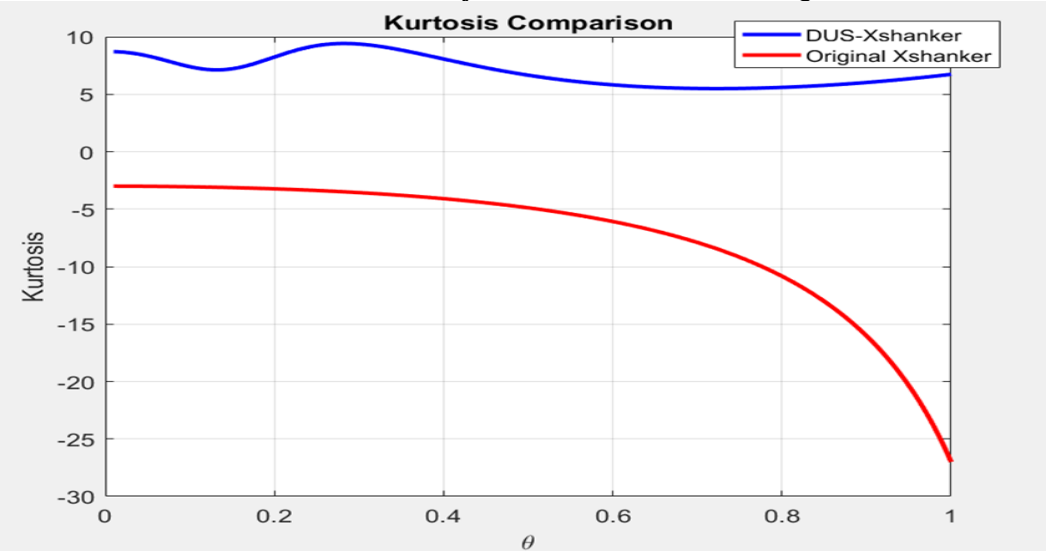
يتم قياس "ثقل الأجنَّدَة" او الذيل للتوزيع باستُّخدام االتفرطح. تشير القيم العالية التفرطح إلى الأجنحة الثقيلة، بينما تشير القيم المنخفضة إلى الأجنحة الخفيفة. يتم استخدام اللحظات الأولى والثانية والثالثة والرابعة لحساب التفرطح.

$$Kurtosis(t) = \frac{\mu_4' - 4\mu_1'\mu_3' + 6\mu_1'\mu_2' + 3(\mu_1')^4}{(var(t))^2}$$





الشكل 5. توضيح منحنيات الالتواء لكل من توزيعي X-shanker و Dus-X-shanker



الشكل 6. توضيح منحنيات التفرطح لكل من توزيعي X-shanker و Dus-X-shanker

8- تقدير معلمات توزيع Dus-X-shanker

 $DUS ext{-}Xsh$ يتم تقدير معلمة التوزيع الجديد من أجل تقييم التطبيق العملي لتوزيع $DUS ext{-}Xsh$. نقوم بتقدير معلمة hetaباستعمال طريقة الإمكان الأعظم. تعد دالة الاحتمال أداة أساسية في الإحصاء الاستدلالي تُستخدم لتقدير معلمات التوزيع الاحتمالي بناءً على عينة من البيانات. تهدف إلى حساب احتمال الحصول على البيانات المرصودة بناء على قيم المعلمات. دالة الاحتمال لعينة n حيث $t_1, t_2, ..., t_{(n)}$ لعينة:

$$L(heta;t_1,t_2,...,t_n)=\prod_{i=1}^ng(t_i, heta)$$
 والاحتمال اللوغارتمي $l(heta)$ هو اللوغارتم الطبيعي لدالة الإمكان الأعظم: $L(heta)=\sum_{i=1}^nlog(g(t_i, heta))$

$$L(\theta) = \sum_{i=1}^{n} log(g(t_i, \theta))$$

 (θ) في Dus-X-shanker الآن استبدل pdf لتو زيع



$$L(\theta) = \sum_{i=1}^{n} ln \left(\frac{\theta^2}{(\theta^2 + 1)^2 (e - 1)} \right) + ln(\theta^3 + 2\theta + t_i) - \theta t_i + 1 - \left(1 + \frac{\theta t_i}{(\theta^2 + 1)^2} \right) e^{-\theta t_i}$$

i=1 لإيجاد قيمة heta التي تعظم دالة الاحتمال اللو غاريتمية، نقوم بأخذ المشتقة الجزئية لـ L(heta) بالنسبة لـ heta ومساواتها بالصفر:

$$\frac{\partial L(\theta)}{\partial \theta} = 0$$

$$\frac{\partial L(\theta)}{\partial \theta} = \sum_{i=1}^{n} \frac{2}{\theta} - \frac{4\theta}{\theta^2 + 1} + \frac{3\theta^2 + 2}{\theta^3 + 2\theta + t_i} - x_i + \frac{t_i e^{-\theta t} i}{(\theta^2 + 1)^2} \left(1 + \frac{\theta t_i}{(\theta^2 + 1)^2} \right) = 0$$

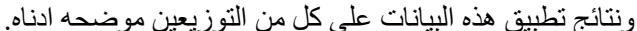
هذه المعادلات السابقة غير خطية و لا يمكن حلها تحليلياً إذلك نلجاً الى التحليل العددي باستعمال الطريقة العددية نيوتن - رافسون (Newton-Raphson) او التقريب العددي للحصول على مقدرات طريقة الإمكان.

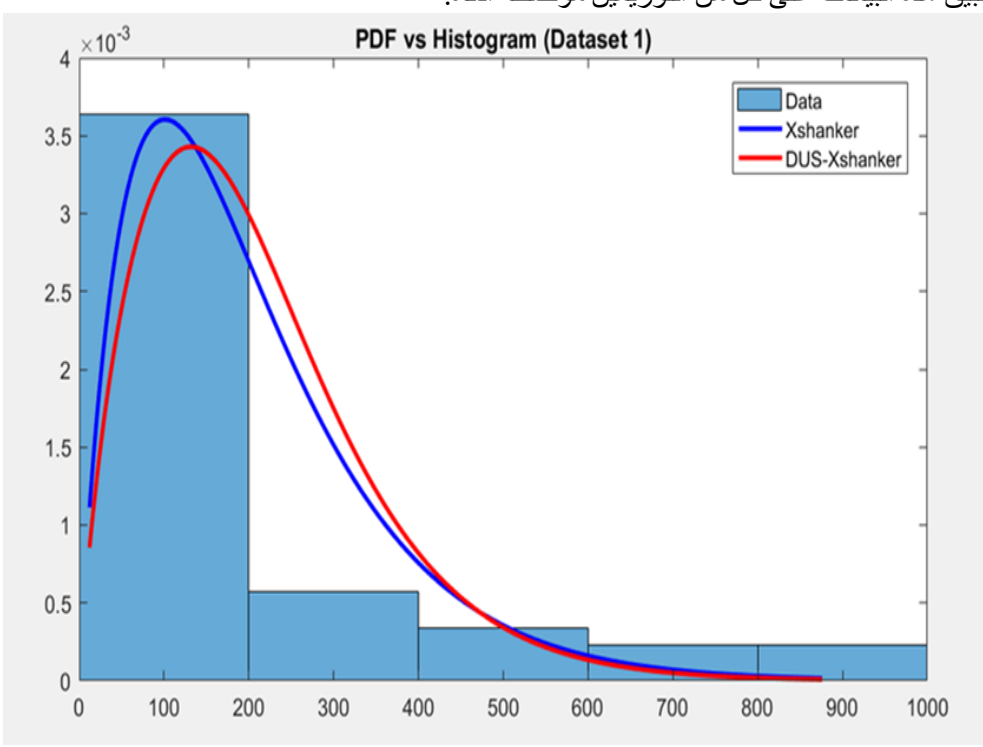
9- تطبيق الحياة الواقعية:

تمت دراسة حالتين من البيانات في العالم الحقيقي، حيث تم أخذ مجموعة من المرضى الذين تلقوا علاجًا يجمع بين العلاج الكيميائي والعلاج الإشعاعي في الاعتبار. (CT + RT) [2].

(1-9)مجموعة البيانات:

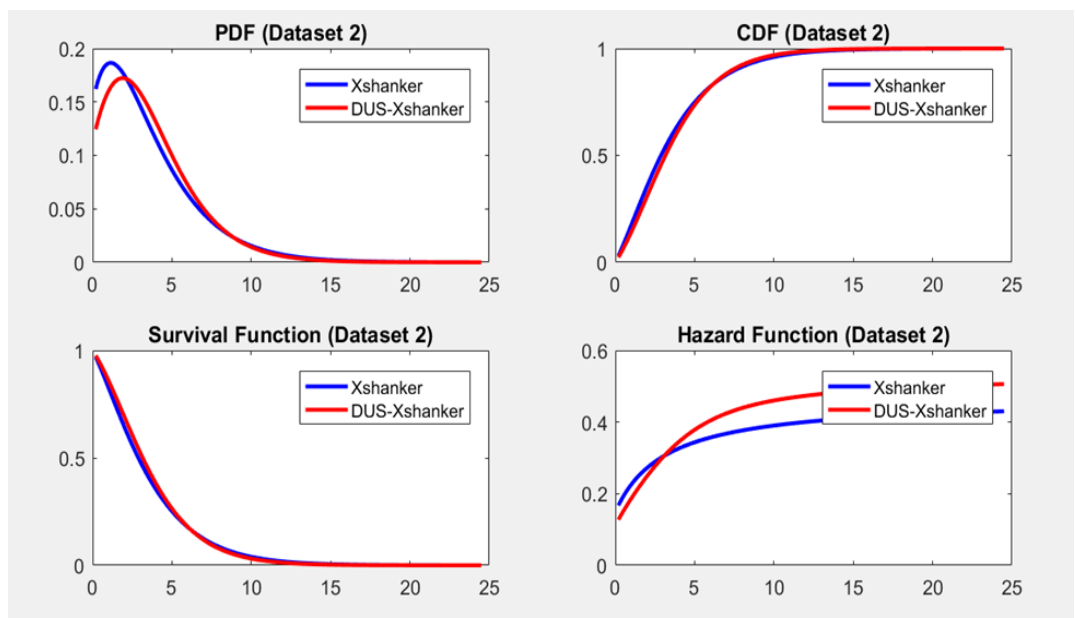
[12.2 23.56 23.74 25.87 31.98 37 41.35 47.38 55.46 58.36 63.47 68.46 78.26 74.47 81.43 84 92 94 110 112119 127 130 133 140 146 155 159 173 179194 195 209 249 281 319 339 432 469 519 633 725 817 1776]





الشكل 7. ملائمة المدرج التكراري للتوزيع الأصلي وتوزيع Dus-X-shanker المعلة 1 المعلة المعطاة θ =0.01





الشكل 8. يوضح سلوك المنحنيات الأصلية ومنحنيات توزي Dus-X-shanker المعطاة 1 المعطاة θ - θ .

الجدول 1. المقارنات للبيانات الأولى

Dist.	Estimated θ	AIC	CAIC	BIC	k-s
X shanker	0.0098	574.3695	576.1537	574.4647	0.21979
Dus-X- shanker	0.0113	565.7589	574.4647	576.1537	0.1719

تحليل نتائج الجدول 1:

إحصائية K-S لتوزيع التراكمي النظري لتوزيع (0.2196): (0.2196) تشير إلى أن التباين الأقصى بين التوزيع التراكمي النظري لتوزيع (0.2196): (0.2196) تشير انخفاض قيمة (0.2196) والتوزيع التجريبي لبياناتك هو (0.2196). يشير انخفاض قيمة (0.2196) المان على المان على المان على المان على المان التفسير الدقيق يعتمد على حجم العينة وقيم (0.2196) المحرجة.

إحصائية K-S لتوزيع Dus-X-shanker: (0.1719) تشير إلى أن هناك تباينًا أقصى قدره 0.2196 بين التوزيع التراكمي النظري لتوزيع X shanker والتوزيع التجريبي لبياناتك. يناسب توزيع X البيانات بشكل أفضل من التوزيع الأصلي لـ X shanker وموضح بحقيقة أن هذه القيمة أكبر من إحصائية X-X لتوزيع X-X كما هو موضح بحقيقة أن هذه القيمة أكبر من إحصائية X-X لتوزيع X-X-X

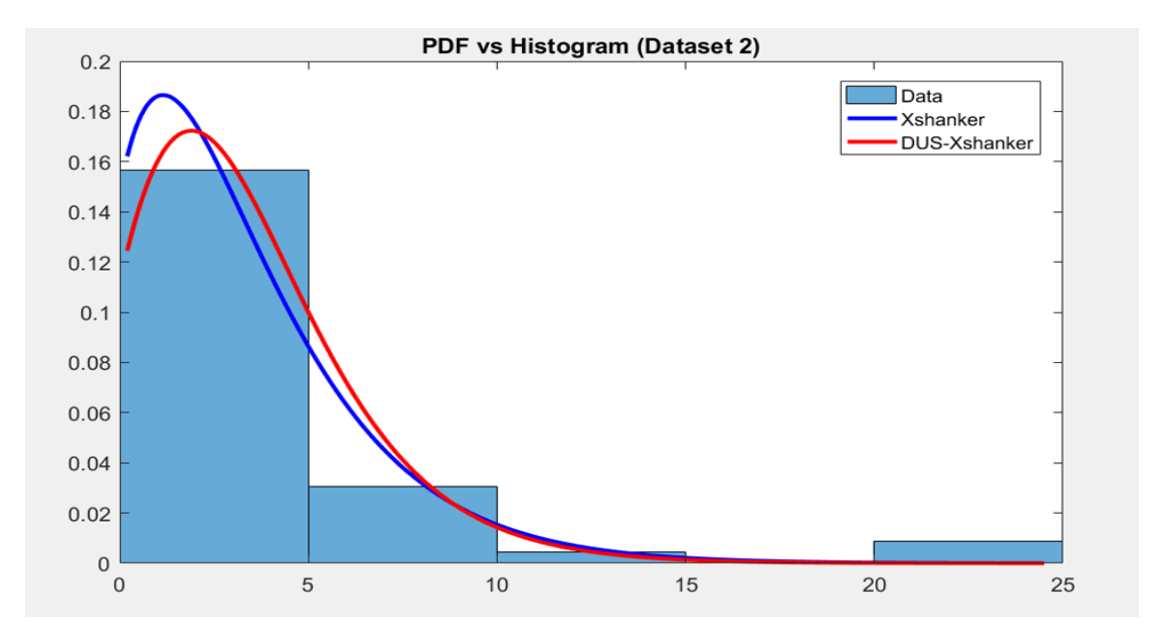
:DUS-X shanker مقابل X shanker

يحتوي توزيع DUS-X shanker و BIC و BIC و BIC أقل مقارنة بتوزيع X shanker يحتوي توزيع DUS-X shanker البيانات مقارنة بتوزيع DUS-X shanker يوفر تطابقًا أفضل مع البيانات مقارنة بتوزيع DUS-X shanker

(2-2) مجموعة البيانات:

2.5 2.7 3.0 3.0 3.3 3.3 4.0 4.0 4.0 4.5 4.7 5.0 5.4 7.0 7.5 8.8 9.0 10.3 22.0 24.5] والما 3.5 0.5 0.5 0.5 0.5 0.5 0.6 0.6 0.7 0.7 0.7 0.8 0.8 1.0 1.0 1.0 1.0 1.1 1.3 1.5 1.5 1.5 1.5 2.0 2.0 2.2 24.5] ونتائج تطبيق هذه البيانات على كل من التوزيعين موضحه اد





الشكل 9. يوضح ملامة التوزيع الأصلي وتوزيع DUS_L1 لمجموعة البيانات الحقيقية والقيمة المعطاة θ .

		,	•		
Dist.	Estimated θ	AIC	CAIC	BIC	k-s
X-shanker	0.4663	231.1396	231.2305	232.9682	0.2780
Dus-X- shanker	0.5427	221.9694	222.0603	223.7981	0.2338

إحصائية K-S لتوزيع Dus-X-shanker : 0.2338

هذا يشير إلى أن التوزيع التراكمي النظري لتوزيع والتوزيع Dus-X-Shanker التجريبي للبيانات ينحرفان بحد أقصى 0.2338 يشير انخفاض قيمة K-S إلى تطابق أفضل. على الرغم من أن توزيع Dus-X-Shanker في هذه الحالة يوفر تطابقًا جيدًا نسبيًا مع البيانات، فإن التفسير الدقيق يعتمد على حجم العينة وقيم K-S الحرجة.

إحصائية K-S لتوزيع X-shanker: (0.2780) تشير إلى أن هناك تباينًا أقصى قدره 0.2780 بين التوزيع التراكمي النظري لتوزيع الكراكمي النظري لتوزيع الأصلي لتوزيع الكراكمي التوزيع الأصلي X-shanker والتوزيع التوزيع الأصلي الكراكمي للبيانات. يناسب توزيع K-S لتوزيع Xsh لتوزيع Xsh التوزيع الأصلي الكراكمية Xsh كراكمية التوزيع Xsh التوزيع Xsh التوزيع الكراكمية الكراكمي

:DUS-X-shanker مقابل X-shanker

يحتوي توزيع DUS-X-shanker و BIC و BIC و BIC و AIC أقل مقارنة بتوزيع X-shanker على قيم AIC على قيم AIC على قيم AIC على أن توزيع DUS-X-shanker وفر تطابقًا أفضل مع البيانات مقارنة بتوزيع DUS-X-shanker

الخوارز مية

تم إجراء التحليل الإحصائي باستخدام برنامج MATLAB، حيث استُخدم في تقدير المعلمات، تنفيذ الطريقة العددية (-Newton (Raphson)، واختبارات الملاءمة وتحليل البيانات.

نقدم الخوار زمية لتحليل مجموعتي البيانات باستخدام برنامج Matlab من خلال الخطوات التالية:

- 1- تعریف دوال PDF, CDF, Survival لکل من توزیع Xshanker لکل من توزیع PDF, CDF, Survival لکل من توزیع Xshanker
 - 2- تقدير المعلمة θ لكل من التوزيعين باستخدام طريقة التقدير الأعظمي لاحتمال (MLE).
- (K-S) و Xshanker و Xshanker و Xshanker و Xshanker و Xshanker و اختبار كولموجور وف-سمير نوف (K-S) و اختبار كاي سكوير (Chi-squared) للمقارنة بين الملائمات.
 - 4- رسم دوال PDF, CDF, Survival و Hazard لكل من توزيعي Lindley الأصلي و DUS_L1.
 - 5- حساب قيم AIC, CAIC, و BIC لكل من النموذجين لتحديد التوزيع الأفضل ملاءمة للبيانات.
 - $_{0}$ رسم دوال PDF_{S} مع المدرج التكراري للبيانات لمقارنة الملاة بصريًا.



10-تحليل النتائج:

تشير نتائج البحث إلى أن توزيع Dus-X-shanker المحور باستخدام تحويل DUS يقدم أداءً إحصائيًا محسنًا مقارنة بالتوزيع الأصلي X-shanker. وقد ظهر هذا التحسّن من خلال انخفاض مؤشرات الملاءمة مثل X-shanker و X-افخافة إلى انخفاض قيمة اختبار X-X- مما يدل على توافق أكبر بين التوزيع النظري والبيانات الفعلية.

إن إدخال تحويل DUS أضاف مرونة إلى سلوك التوزيع، خاصة في ذيله، مما جعله قادرًا على تمثيل البيانات ذات الطبيعة المعقدة بدقة أعلى. ويُلاحظ من خلال الرسوم البيانية أن منحنيات PDF و CDF الخاصة بالتوزيع المحوّر تتميز بشكل انسيابي وأكثر ملاءمة للبيانات.

. تؤكد هذه النتائج أن التوزيع الجديد لا يمثل مجرد تعديل رمزي، بل يُعد تحسينًا بنيويًا واضحًا يُسهم في بناء نماذج أكثر كفاءة وواقعية.

11-الاستنتاج:

يُظهر توزيع DUS-X-sh باستمرار قيم AIC و BIC و CAIC أقل مقارنةً بتوزيع X-shanker، مما يشير إلى أن التوزيع الجديد يوفر ملاءمة أفضل للبيانات مع تعقيد أقل في النموذج.

بالإضافة إلى مؤشرات الملاءمة، تم استخدام اختبار Kolmogorov-Smirnov (K-S) حمقياس لصدق التوزيع، وقد تم عرض نتائجه في الجدولين (1 و2)، حيث أظهرت القيم انخفاضًا ملحوظًا عند استخدام توزيع DUS-X-shanker. كما تم تحديد القيم الابتدائية اللازمة لتقدير المعلمة θ بالاعتماد على خصائص البيانات، مع تطبيق الطريقة العددية (Newton-Newton) للحصول على تقدير ات دقيقة.

بناءً على هذه المعابير، يجب تفضيل DUS-X-sh على توزيع X-shanker لنمذجة مجموعة البيانات المعطاة، حيث يوفر توازنًا أفضل بين الدقة والبساطة. بشكل عام، يتفوق توزيع DUS-Xsh على توزيع X-shanker وفقًا لجميع معايير التقييم الثلاثة (BIC،AIC، وCAIC)، مما يجعله الخيار الأكثر ملاءمة لمجموعة البيانات المعطاة.

المصادر

- 1. K. A Chaudhry., J. Shareef J., On DUS Transformed Weibull Distribution and its Properties. Statistics and Applications Vol 19, No. 2, 2021 (New Series), pp 1-12.
- 2. P. Gauthami, V. M. Chacko Dus Transformation of Inverse Weibull Distribution: An Upside-Down Failure Rate Model. RT&A, No 2(62) Volume 16, June 2021
- 3. Gupta, R. C. Gupta, R. D. and Gupta, P. L. (1998). Modeling failure time data by Lehman alternatives. Communication in Statistics-Theory and Methods, 27(4), 887-904.
- 4. H. O. Etaga, E. C. Celestine, CH. K. Onyekwere., 'A New Modi_cation of Shanker Distribution with Applications to Increasing Failure Rate Data' Volume 13, Number 2, 2023, Pages 509-526
- 5. Kundu, D. and Raqab, M.Z. (2009). Estimation of R = P (Y < X) for three parameter Weibull Distribution. Statistics and Probability Letters, 79:839–1846.
- 6. Kumar, D., Singh, U. and Singh, S. K. (2015). A method of proposing new distribution and its application to Bladder cancer patient's data. Journal of Statistics Applications and Probability Letters, 2:235–245.
- 7. Lawless, J. Statistical Models and Methods for Lifetime Data, John Wiley & Sons, New York, 1982.
- 8. Mahmoud, M. A. W., Sultan, K. S. and Amer, S. M. (2003). Order statistics from inverse Weibull distribution and associated inference. Computational Statistics & Data Analysis, 42:149–163.
- 9. Maurya, S. K., Kaushik, A., Singh, S. K. and Singh, U. (2016). A new class of exponential transformed Lindley distribution and its application to Yarn International Journal of Statistics and Economics, 18.
- 10. Mohamaad, S.F., Al-Kadim, K.A. (2021). A Transmuted Survival Model with Application. Journal of Physics: Conference Series, 2021, 1897(1), 012020.
- 11. Mohamaad, S.F., Al-Kadim, K.A. (2023). Using Survival Function and Transmuted Formula to Produce Lifetime Models with Application on Real Data Set. AIP Conference Proceedings, 2023, 2457, 020017.



- 12. Mudholkar, G. S., Srivastava, D. K. and Kollia, G. D. (1996). A Generalization of the Weibull Distribution with Application to the Analysis of Survival Data. Journal of the American Statistical Association, 91.
- 13. Pakdaman, Z. and Ahmadi, J. (2017). Point estimation of the stress-strength reliability parameter for parallel system with independent and non-identical components. Communications in Statistics-Simulation and Computation, 47:1193–1203.
- 14. Shaw, W. and Buckley, I. (2009). The alchemy of probability distributions: beyond Gram-Charlier expansions and a skew-kurtotic-normal distribution from a rank transmutation map. Research Report, King's College, London, U.K.
- 15. Sharma, V. K. and Dey, S. (2019). Estimation of reliability of multicomponent stress-strength inverted exponentiated Rayleigh model. Journal of Industrial and Production Engineering, 36:181–192.
- 16. Tripathi, A., Singh, U. and Singh, S. K. (2019). Inferences for the DUS-Exponential Distribution Based on upper record values. Annals of Data Science, 1–17.